



Boletín mensual Vigilancia Volcánica de Tenerife

JUNIO 2020

El Instituto Volcanológico de Canarias (INVOLCAN) es una entidad demandada unánimemente por el Senado (2005), Parlamento de Canarias (2006), Asamblea General de la Federación Canaria de Municipios, FECAM (2008), Congreso de los Diputados (2009) y la Asamblea General de la Federación Canaria de Islas, FECAI (2014), que instan a la Administración General del Estado y de la Comunidad Autónoma de Canarias, así como a los Cabildos Insulares, a la apuesta conjunta de todos los recursos humanos y técnicos que las diferentes administraciones públicas españolas destinan a la gestión científica del riesgo volcánico en España, con la finalidad de garantizar una coordinación efectiva y eficiente para contribuir al fortalecimiento de las acciones destinadas a la reducción del riesgo volcánico en España; dígase Canarias, la única región volcánicamente activa del territorio nacional con riesgo volcánico. Desde finales de 2010 el INVOLCAN es una realidad gracias a la implicación del Cabildo Insular de Tenerife, estando a la espera de la participación del resto de las administraciones públicas.

Introducción

En este boletín se presentan los datos registrados por las redes instrumentales permanentes y las campañas científicas periódicas de observación para la monitorización de la actividad volcánica en Tenerife correspondientes al mes de junio de 2020. Los boletines mensuales de INVOLCAN son publicados a principios de cada mes reflejando la actividad del mes anterior. El copyright de los datos y de las elaboraciones mostradas en el presente boletín es propiedad intelectual de INVOLCAN. Sólo está permitida exclusivamente la difusión del presente boletín en su totalidad. La autorización a la publicación parcial, también en forma elaborada, debe ser solicitada previamente a INVOLCAN mediante correo electrónico (involcan@gmail.com). La fuente de los datos sísmicos anteriores al 21/11/2016, fecha en que ha entrado en plena operatividad la Red Sísmica Canaria gestionada por INVOLCAN, proceden de la página web del Instituto Geográfico Nacional, IGN. Los datos mostrados en el presente boletín podrían estar sujetos a futuras revisiones. Se declina cualquier responsabilidad derivada de un uso inadecuado de la información aquí presentada.



Resumen

- En el mes de junio de 2020, la Red Sísmica Canaria ha registrado **180** terremotos de baja magnitud ($M_{max} = 2.7$) en la isla de Tenerife y sus alrededores.
- Los valores de temperatura de la estación termométrica TFT12 no han registrado tendencias significativas.
- La Red GPS Canaria (ITER-GRAFCAN-Universidad de Nagoya) que opera el INVOLCAN no ha registrado desplazamientos horizontales y verticales significativos.
- Debido a la declaración del Estado de alarma declarado para la gestión de la situación de crisis sanitaria ocasionada por el COVID-19, y publicada el 14 de marzo de 2020 según el Real Decreto 463/2020, las campañas periódicas de observación y medición directa sobre el terreno han quedado suspendidas en su totalidad durante el mes de junio de 2020. Por ello, en el boletín mensual de vigilancia volcánica para el mes de junio de 2020 solo se presentan datos proporcionados por las estaciones instrumentales instaladas en la isla de Tenerife. El resto de los parámetros geoquímicos que se presentan en este informe no muestran variaciones significativas durante el mes de junio de 2020.

Valoración

El incremento observado en la emisión difusa de dióxido de carbono (CO_2), emanaciones no visibles al ojo humano, en el cráter del Teide desde el pasado mes de noviembre de 2016 refleja un proceso de presurización del sistema volcánico-hidrotermal. Esto está probablemente vinculado a la inyección de gases de origen magmático en el sistema. La ausencia de deformaciones significativas del terreno hace poco probable la implicación directa de un sistema magmático superficial.

A corto plazo, no se puede excluir que continúe este episodio de presurización del sistema volcánico-hidrotermal. Además, podrían producirse más terremotos de pequeña magnitud y de entidad parecida al ocurrido el 6 de enero 2017. Por otra parte, puede excluirse la ocurrencia de terremotos capaces de generar daños a corto plazo. El registro de un incremento en la emisión difusa de dióxido de carbono (CO_2) en el cráter del Teide ha sido y es de interés científico para el fortalecimiento del sistema de alerta temprana, pero no ha representado ni representa peligro alguno para las personas que acceden diariamente al Pico del Teide.

Recordar que en la actualidad el semáforo volcánico para Tenerife se encuentra en posición **VERDE**. Por lo tanto, y según el Plan Especial de Protección Civil y Atención de Emergencias por Riesgo Volcánico en la Comunidad Autónoma de Canarias (PEVOLCA), **los residentes y visitantes en la isla pueden desarrollar sus actividades con absoluta normalidad.**

1 - Sismología

Durante el mes de junio de 2020, la Red Sísmica Canaria en Tenerife (Fig. 1.1) ha estado en funcionamiento con 17 estaciones operativas. Todos los hipocentros han sido relocalizados manualmente. La incertidumbre en las localizaciones hipocentrales es de unos pocos kilómetros, mientras que en las magnitudes es en alrededor de 0.2 unidades.

Los hipocentros de los **180** terremotos registrados por la Red Sísmica Canaria durante el mes de junio de 2020 han sido localizados en su práctica totalidad por debajo de la isla de Tenerife y en el área entre Tenerife y Gran Canaria (Fig. 1.1). La magnitud máxima observada ha sido de **2.7**, debida a un terremoto registrado el 24/06/2020 a las 18:20 GMT y localizado unos 30 km al noreste de Tenerife (Fig. 1.1).

En el mes de junio de 2020, el número de terremotos (Fig. 1.2) ha mostrado un aumento con respecto al mes anterior. Las profundidades (Fig. 1.3), las magnitudes (Fig. 1.4) y la energía sísmica liberada (Fig. 1.5, 1.6) no muestran variaciones significativas a corto plazo. Durante el mes de junio de 2020 el parámetro *b* de la ley de Gutenberg-Richter se ha mantenido con valores en torno a 2.0 (Fig. 1.7).

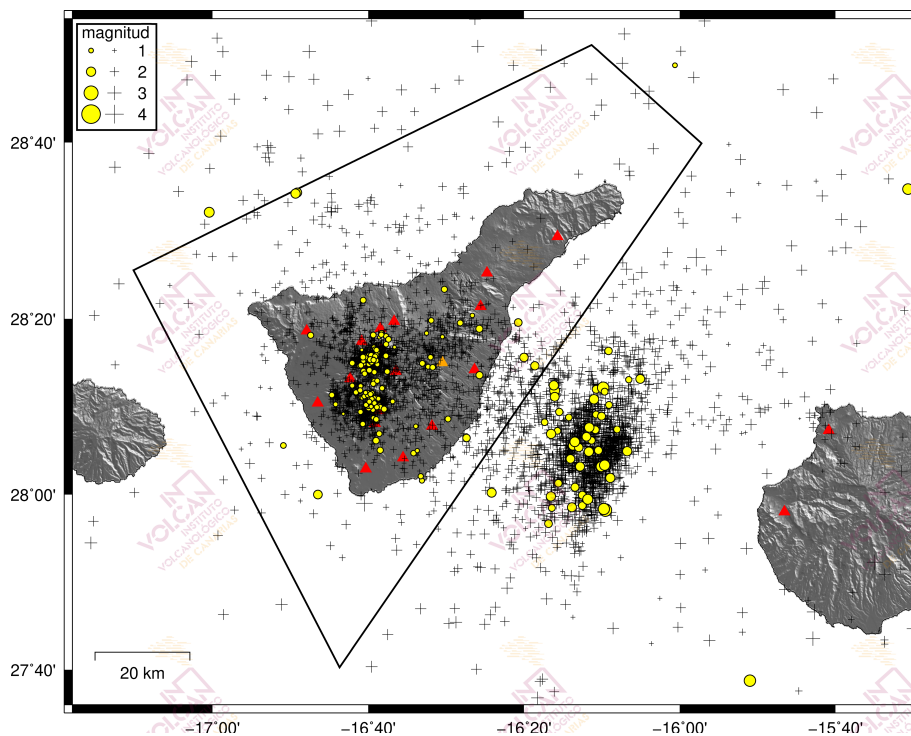


Figura 1.1 - Hipocentros de los terremotos (círculos amarillos) localizados por las estaciones de la Red Sísmica Canaria (triángulos rojos) en junio de 2020. Las cruces muestran los hipocentros localizados en los últimos 12 meses. El polígono negro corresponde al área de Tenerife considerada en las estadísticas sismológicas de los gráficos siguientes.

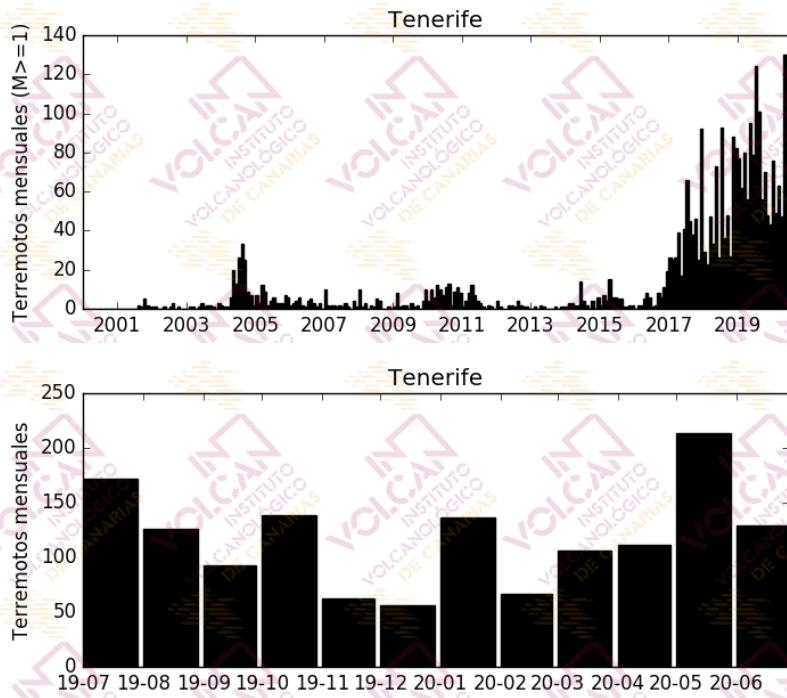


Figura 1.2 - Número de terremotos mensuales en Tenerife. El histograma superior corresponde al periodo enero 2000 – junio 2020 para terremotos con $M \geq 1$, mientras que el inferior muestra el periodo julio 2019 – junio 2020 para todas las magnitudes. [La fuente de los datos sísmicos anteriores al 21/11/2016 es el Instituto Geográfico Nacional, IGN].

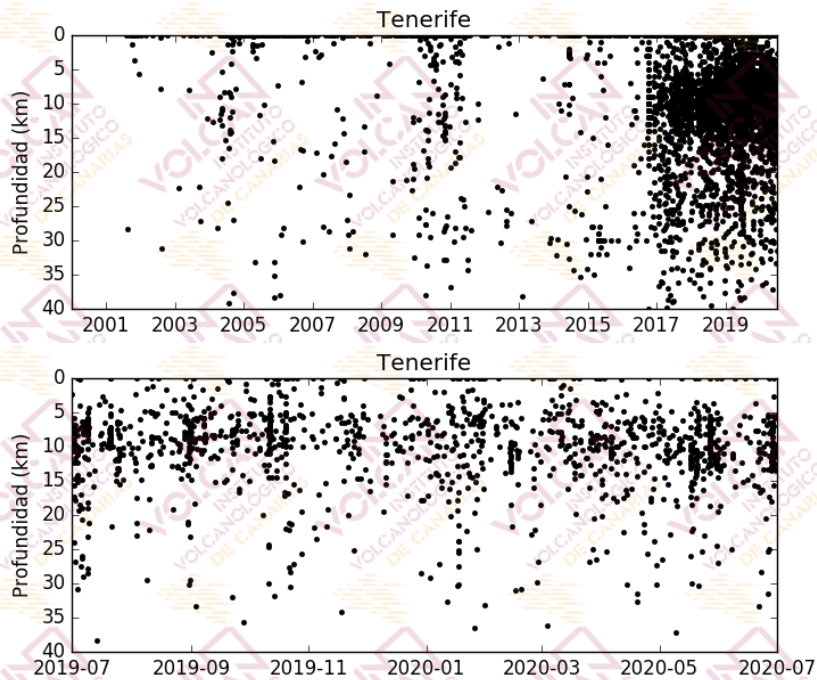


Figura 1.3 - Profundidades de los hipocentros localizados en el área de Tenerife. El gráfico superior corresponde al periodo enero 2000 - junio 2020, mientras que el inferior muestra el periodo julio 2019 – junio 2020. [La fuente de los datos sísmicos anteriores al 21/11/2016 es el Instituto Geográfico Nacional, IGN].

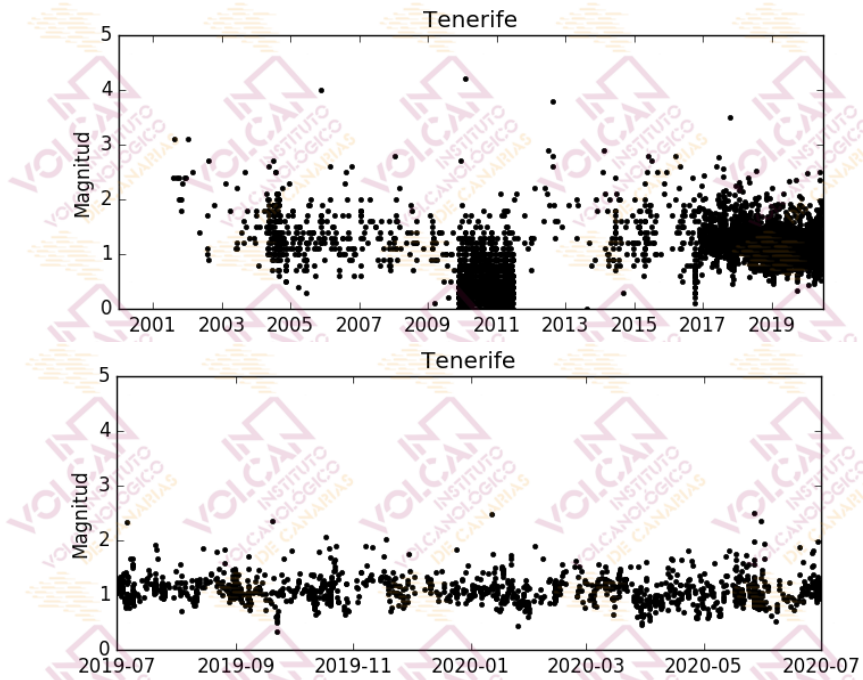


Figura 1.4 - Magnitudes de los terremotos localizados en el área de Tenerife. El gráfico superior corresponde al periodo enero 2000 – junio 2020, mientras que el inferior muestra el periodo julio 2019 – junio 2020. [La fuente de los datos sísmicos anteriores al 21/11/2016 es el Instituto Geográfico Nacional, IGN].

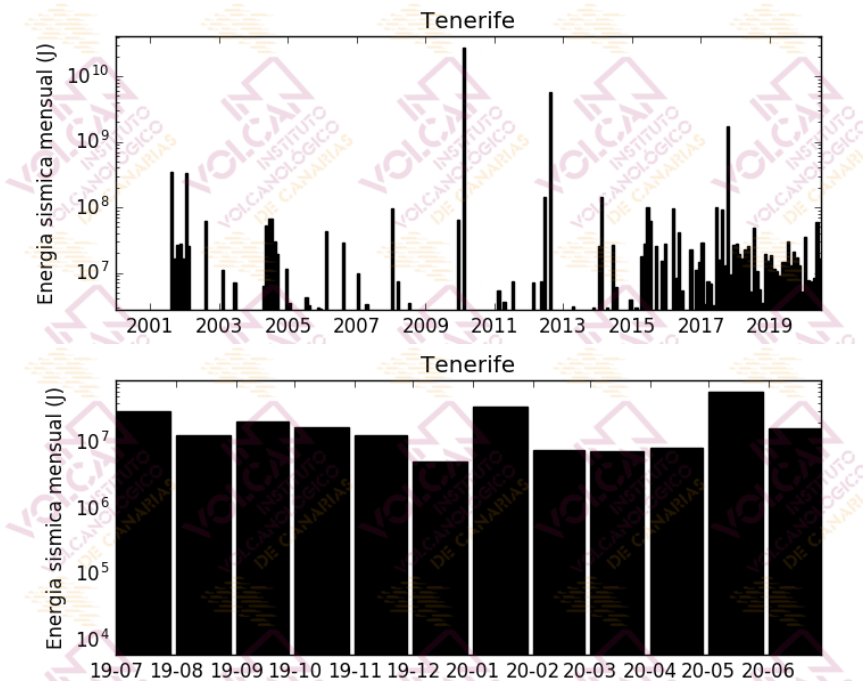


Figura 1.5 – Energía sísmica liberada por los terremotos localizados en el área de Tenerife. El histograma superior corresponde al periodo enero 2000 – junio 2020, mientras que el inferior muestra el periodo julio 2019 – junio 2020. [La fuente de los datos sísmicos anteriores al 21/11/2016 es el Instituto Geográfico Nacional].

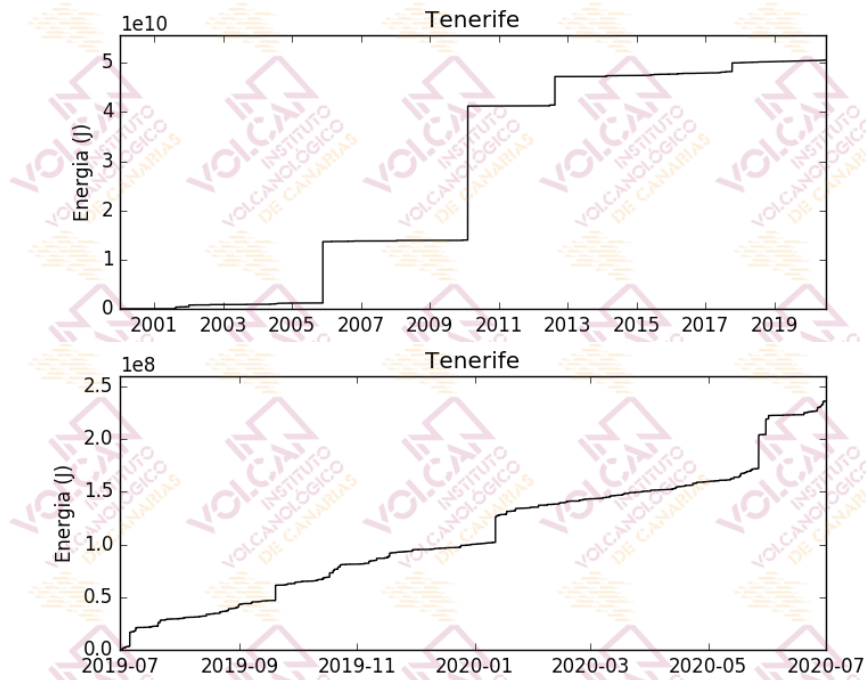


Figura 1.6 - Curva de energía sísmica acumulada por los terremotos localizados en el área de Tenerife. El gráfico superior corresponde al periodo enero 2000 – junio 2020, mientras que el inferior muestra el periodo julio 2019 – junio 2020. [La fuente de los datos sísmicos anteriores al 21/11/2016 es el Instituto Geográfico Nacional, IGN].

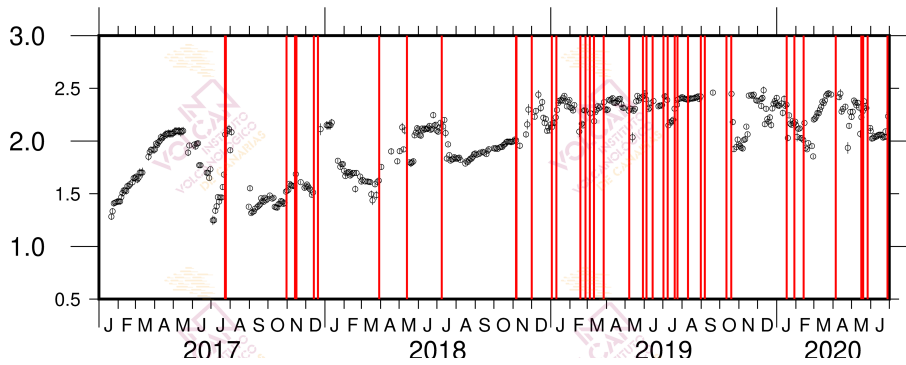


Figura 1.7 - Variaciones del parámetro b de la relación de Gutenberg-Richter durante el periodo enero 2017 – junio 2020. Las líneas rojas indican la ocurrencia de enjambres sísmicos.

Tabla 1.1 - Hipocentros localizados por la Red Sísmica Canaria en junio de 2020 y mostrados en la Figura 1.1

Fecha	Magnitud	Latitud (N)	Longitud (W)	Prof. (km)
01-06-2020 02:54	1.5	28.1235	-16.1340	3.6
01-06-2020 03:06	1.5	28.1519	-16.1790	6.3
01-06-2020 07:06	0.8	28.3075	-16.6356	13.1
01-06-2020 07:10	1.2	28.2031	-16.6355	5.8
01-06-2020 07:12	1.3	28.1435	-16.4960	10.3
01-06-2020 07:21	1.9	28.5719	-16.8189	18.7
01-06-2020 07:32	1.7	28.3262	-16.3456	13.6
01-06-2020 22:28	1.6	28.1567	-16.2578	5.1
02-06-2020 00:24	0.9	28.2991	-16.5079	0.0
02-06-2020 00:42	1.4	28.1209	-16.2616	1.9
02-06-2020 02:40	1.4	28.1372	-16.2891	2.1
02-06-2020 07:48	0.7	28.2640	-16.6726	12.9
02-06-2020 23:25	1.2	28.0786	-16.5697	12.7
03-06-2020 02:16	1.7	27.9790	-16.2085	0.0
03-06-2020 02:58	1.5	28.1701	-16.1514	5.3
03-06-2020 10:24	1.1	28.0264	-16.5519	10.0
03-06-2020 12:43	1.1	28.0348	-16.5542	11.1
04-06-2020 00:09	0.8	28.2742	-16.6806	7.9
04-06-2020 14:20	1.3	28.2179	-16.1090	0.0
04-06-2020 23:36	0.6	28.2659	-16.6666	9.5
05-06-2020 15:27	2.0	28.0314	-16.1485	11.6
05-06-2020 17:56	2.0	28.0823	-16.1123	6.9
05-06-2020 23:15	1.9	28.0927	-16.2288	4.7
06-06-2020 03:57	2.3	28.5785	-15.5111	0.0
07-06-2020 05:39	0.5	28.2411	-16.5241	25.0
07-06-2020 11:23	1.5	27.9744	-16.2736	1.8
07-06-2020 13:27	1.5	27.9949	-16.2782	6.3
07-06-2020 19:55	1.5	28.1465	-16.2372	8.0
08-06-2020 02:08	1.6	28.1026	-16.1885	6.4
08-06-2020 03:30	0.8	28.2494	-16.6644	11.0
08-06-2020 04:46	0.8	28.2983	-16.6431	11.6
08-06-2020 05:58	0.7	28.1954	-16.6882	11.4
08-06-2020 20:09	2.2	28.0530	-16.1678	11.6
08-06-2020 21:06	1.3	28.3685	-16.6776	13.5
08-06-2020 21:29	1.1	28.3004	-16.6286	15.8
08-06-2020 23:55	N.D	28.2059	-16.6829	0.0
09-06-2020 05:24	1.2	28.2630	-16.6289	0.0
10-06-2020 03:18	1.8	28.0139	-16.2242	0.0
11-06-2020 03:15	1.7	28.1997	-16.1789	4.8
11-06-2020 04:06	1.0	28.1711	-16.7365	8.1
11-06-2020 06:59	0.9	28.2694	-16.6467	6.8
11-06-2020 20:20	1.7	28.0837	-16.1739	6.0
11-06-2020 23:41	1.7	27.9445	-16.2809	0.0



12-06-2020 21:12	0.9	28.0833	-16.5617	12.3
13-06-2020 02:13	0.9	28.1614	-16.6306	15.1
13-06-2020 03:13	1.6	28.0214	-16.2598	10.0
14-06-2020 01:29	1.0	28.3397	-16.4439	5.5
14-06-2020 05:15	1.2	28.0930	-16.8482	0.0
14-06-2020 09:16	2.5	28.2027	-16.1639	6.9
15-06-2020 02:08	1.6	28.2725	-16.1523	21.8
15-06-2020 02:14	1.7	28.1486	-16.1672	6.5
15-06-2020 02:23	0.8	28.1398	-16.6466	8.6
15-06-2020 19:17	1.0	28.1296	-16.5648	14.8
16-06-2020 03:16	1.7	28.1229	-16.1805	1.3
16-06-2020 15:56	0.9	28.3060	-16.5419	5.6
17-06-2020 00:16	0.7	28.1532	-16.7200	9.3
17-06-2020 02:15	2.1	28.5349	-17.72	0.0
17-06-2020 08:54	1.5	28.1953	-16.1606	3.2
17-06-2020 19:26	0.8	28.2795	-16.6103	14.2
17-06-2020 20:49	1.7	27.9988	-16.2085	0.0
19-06-2020 00:34	0.9	28.2798	-16.6546	15.7
19-06-2020 15:31	1.9	28.0000	-16.7744	0.0
19-06-2020 18:19	1.4	28.0841	-16.6410	3.7
20-06-2020 00:29	1.0	28.2757	-16.6525	7.6
20-06-2020 03:07	N.D	28.8122	-16.100	31.2
20-06-2020 04:35	1.9	28.1097	-16.1996	3.3
20-06-2020 14:19	2.2	27.9910	-16.1967	4.4
20-06-2020 15:11	2.0	28.1808	-16.1835	0.0
20-06-2020 18:50	1.0	28.2484	-16.6761	12.2
20-06-2020 18:51	1.0	28.2469	-16.6473	15.9
20-06-2020 18:52	1.1	28.2442	-16.6850	7.6
21-06-2020 06:24	0.9	28.1842	-16.6487	10.4
21-06-2020 10:03	1.1	28.2065	-16.7010	9.4
21-06-2020 12:05	0.9	28.1855	-16.6654	10.8
21-06-2020 15:34	1.6	28.1074	-16.4564	33.4
21-06-2020 16:04	2.0	27.9758	-16.2307	1.1
21-06-2020 21:24	1.2	28.2943	-16.6232	11.7
22-06-2020 07:49	1.1	28.2425	-16.5386	16.7
22-06-2020 16:53	1.2	28.2641	-16.6498	16.3
22-06-2020 21:42	1.2	28.3301	-16.5319	28.3
23-06-2020 02:15	1.9	28.0676	-16.2338	0.0
23-06-2020 05:42	1.0	28.1929	-16.6586	16.3
23-06-2020 10:49	1.2	28.2332	-16.6261	10.8
23-06-2020 18:12	1.2	28.2589	-16.6666	10.0
23-06-2020 18:13	1.1	28.2508	-16.6669	8.0
23-06-2020 21:19	1.2	28.2605	-16.5332	6.1
23-06-2020 22:45	1.2	28.3061	-16.6386	13.3
24-06-2020 14:24	1.2	28.2476	-16.6652	11.0
24-06-2020 18:20	2.7	27.9706	-16.1590	10.1





24-06-2020 18:31	2.4	27.9725	-16.1624	7.3
25-06-2020 01:51	1.3	28.3891	-16.5037	20.6
25-06-2020 19:29	1.0	28.1604	-16.6565	9.5
25-06-2020 20:39	1.0	28.1697	-16.6583	6.9
25-06-2020 23:44	1.8	28.0893	-16.2161	0.0
26-06-2020 02:09	1.1	28.2741	-16.6489	5.7
26-06-2020 05:15	1.2	28.2850	-16.6284	5.3
26-06-2020 10:04	2.1	28.1971	-16.2677	7.4
26-06-2020 10:06	1.8	28.2444	-16.3100	13.3
26-06-2020 10:50	2.0	28.1151	-16.2752	7.6
26-06-2020 10:54	1.5	28.2264	-16.4286	25.3
26-06-2020 11:13	1.2	28.2413	-16.5287	31.6
26-06-2020 11:50	2.0	27.9965	-16.2757	4.1
26-06-2020 12:29	2.0	28.2073	-16.2693	9.3
26-06-2020 12:35	1.9	28.1854	-16.2675	8.0
26-06-2020 12:53	2.0	28.0036	-16.4026	7.0
26-06-2020 16:15	1.5	28.3143	-16.4288	25.0
26-06-2020 16:51	1.8	28.2600	-16.3333	17.4
26-06-2020 22:26	1.2	28.1889	-16.7446	6.5
26-06-2020 23:32	1.0	28.1899	-16.6674	11.4
26-06-2020 23:45	1.2	28.1642	-16.6656	8.0
27-06-2020 00:23	1.4	28.1024	-16.6501	0.0
27-06-2020 03:27	2.4	27.6458	-15.8498	0.0
27-06-2020 09:52	2.2	28.0557	-16.1607	0.0
27-06-2020 19:12	1.1	28.2544	-16.6497	12.1
27-06-2020 19:13	1.2	28.2359	-16.6644	13.4
28-06-2020 00:01	1.2	28.2341	-16.6769	12.1
28-06-2020 00:01	1.2	28.2639	-16.6603	18.0
28-06-2020 00:02	1.1	28.2101	-16.6560	12.1
28-06-2020 00:02	1.1	28.2152	-16.6538	12.8
28-06-2020 00:02	1.2	28.2512	-16.6599	11.6
28-06-2020 00:07	1.1	28.2547	-16.6763	7.7
28-06-2020 01:07	1.2	28.3025	-16.6558	7.6
28-06-2020 06:19	1.0	28.1456	-16.6556	8.0
28-06-2020 06:36	1.0	28.1819	-16.6448	9.8
28-06-2020 10:47	1.0	28.1837	-16.6815	12.0
28-06-2020 11:23	1.1	28.2018	-16.6370	10.8
28-06-2020 11:23	1.1	28.2546	-16.6668	9.4
28-06-2020 11:23	1.1	28.2536	-16.6770	9.9
28-06-2020 11:24	1.1	28.2158	-16.6474	10.7
28-06-2020 11:24	1.1	28.2293	-16.6743	11.6
28-06-2020 11:24	1.1	28.2602	-16.6729	9.9
28-06-2020 11:24	1.2	28.2451	-16.6823	8.7
28-06-2020 12:05	1.1	28.1913	-16.6699	11.1
28-06-2020 12:17	1.2	28.1679	-16.6424	9.3
28-06-2020 12:18	1.2	28.1427	-16.6495	7.6





28-06-2020 12:44	1.1	28.1567	-16.6833	6.9
28-06-2020 13:23	1.1	28.1659	-16.6408	8.5
28-06-2020 13:25	1.0	28.1767	-16.6145	7.4
28-06-2020 13:34	0.9	28.1672	-16.6666	6.8
28-06-2020 13:34	1.1	28.1938	-16.6718	13.3
28-06-2020 13:36	0.9	28.1838	-16.6540	10.7
28-06-2020 13:39	1.0	28.1773	-16.6550	10.6
28-06-2020 13:47	1.0	28.1933	-16.6675	11.7
28-06-2020 14:11	1.0	28.1707	-16.6611	6.6
28-06-2020 14:21	1.1	28.1700	-16.6714	7.3
28-06-2020 14:26	1.2	28.3031	-16.6388	13.3
28-06-2020 14:37	1.1	28.1886	-16.6605	9.3
28-06-2020 14:38	2.0	28.0812	-16.1944	8.9
28-06-2020 15:20	0.9	28.1669	-16.6607	7.0
28-06-2020 15:56	1.1	28.2321	-16.6535	7.5
28-06-2020 15:58	1.3	28.1621	-16.6326	6.6
28-06-2020 16:17	1.3	28.3254	-16.4699	7.8
28-06-2020 17:05	2.1	28.1001	-16.2245	10.8
28-06-2020 17:49	0.9	28.1831	-16.6798	11.5
28-06-2020 18:56	1.9	28.2195	-16.844	0.6
28-06-2020 19:10	1.2	28.1338	-16.6784	6.5
28-06-2020 19:13	1.2	28.2606	-16.6780	7.5
28-06-2020 20:05	1.0	28.1937	-16.6938	11.0
28-06-2020 20:29	1.0	28.1864	-16.6750	5.5
29-06-2020 02:49	1.2	28.1154	-16.6432	2.6
29-06-2020 04:48	1.1	28.2617	-16.6521	11.7
29-06-2020 04:48	1.1	28.2559	-16.6557	15.6
29-06-2020 04:48	1.2	28.2493	-16.7010	12.5
29-06-2020 04:49	1.1	28.2538	-16.6647	11.2
29-06-2020 04:49	1.3	28.3020	-16.7899	7.0
29-06-2020 04:50	1.3	28.2560	-16.6620	13.1
29-06-2020 06:03	1.1	28.1939	-16.6930	10.8
29-06-2020 12:23	2.0	28.5702	-16.8223	0.0
30-06-2020 00:28	1.1	28.1978	-16.6838	12.5
30-06-2020 00:32	1.9	28.0531	-16.2134	0.0
30-06-2020 00:38	1.2	28.2487	-16.5510	5.8
30-06-2020 03:14	2.0	28.1273	-16.1935	0.0
30-06-2020 03:42	1.1	28.2552	-16.6554	10.2
30-06-2020 05:28	1.0	28.1816	-16.6588	13.5
30-06-2020 06:06	1.0	28.1885	-16.6682	10.1
30-06-2020 06:34	1.1	28.1735	-16.6534	10.6
30-06-2020 06:43	1.1	28.1658	-16.6484	5.5
30-06-2020 08:02	0.9	28.1932	-16.6724	9.7
30-06-2020 15:07	1.1	28.1905	-16.6619	11.3
30-06-2020 15:10	1.0	28.1763	-16.6644	10.7



2 - Termometría y termografía

La monitorización termométrica para la vigilancia volcánica de Tenerife se realiza a través de (i) las estaciones que conforman la Red Termométrica Canaria existentes en la isla, (ii) la estación instrumental permanente del Consejo Insular de Aguas de Tenerife existente en el sondeo de Montaña Majúa, (iii) las campañas científicas periódicas de observación sobre el flujo de calor y la temperatura en la fumarola del cráter del Teide (TEF1). En este boletín se presentan los valores de temperatura de las fumarolas del Teide y la temperatura a 40 centímetros de profundidad medido por la estación termométrica TFG12 (Mirador de la Fortaleza del Teide). Hasta finales del mes no hay datos registrados de temperatura por problemas técnicos con la estación. Sin embargo, tras este periodo las temperaturas registradas por la estación TFG12, presentan oscilaciones entre valores de 76.2 - 78.6°C, con un valor promedio de 77.5°C.

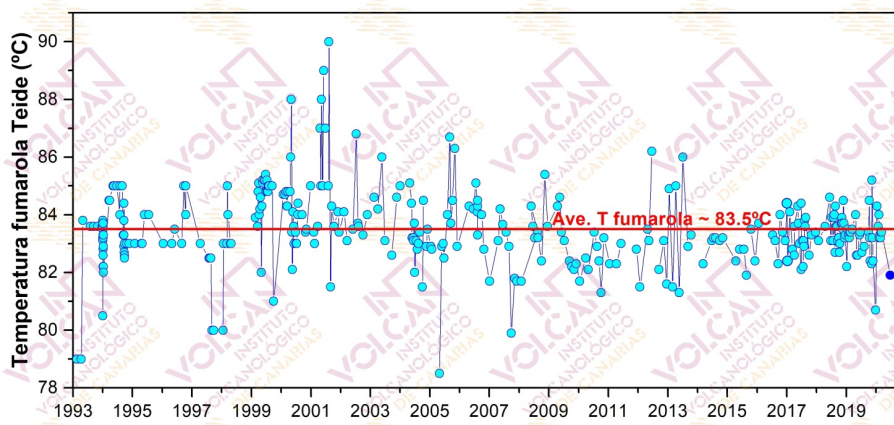


Figura 2.1 – Variaciones temporales de la temperatura registrada en las fumarolas del Teide (TEF1) desde 1993.

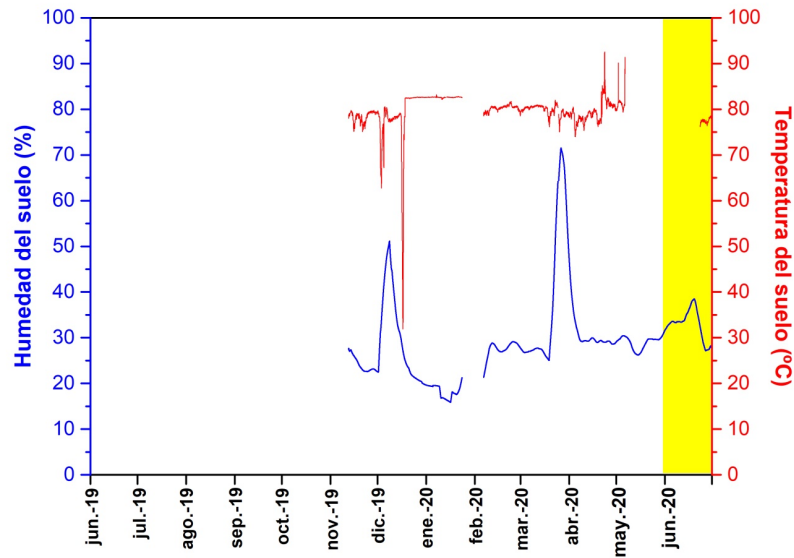


Figura 2.2 – Variaciones temporales de la media móvil semanal relacionada con el registro en modo continuo de la humedad (azul) y la temperatura (rojo) a 40 centímetros de profundidad en la estación termométrica TFT12 (Mirador de la Fortaleza del Teide, Tenerife). Los datos de junio de 2020 se encuentran indicados por el área amarilla.

En el marco del programa de termografía de vigilancia del INVOLCAN, se realiza de forma periódica la toma de imágenes térmicas del cráter del Teide con una cámara térmica FLIR modelo T660. Sin embargo, debido a la declaración del estado de alarma el día 14 de marzo de 2020, no se ha podido acceder a la zona y no se disponen de dichos datos para el mes de junio de 2020.

3 - Geodesia

Durante el mes de junio de 2020, la monitorización geodésica para la vigilancia volcánica de Tenerife se ha realizado a través de la Red GPS Canaria que cuenta con 12 estaciones GPS diferenciales permanentes, de las cuales 2 son de la Universidad de Nagoya, 3 de GRAFCAN y 7 de ITER/INVOLCAN (Fig. 3.1). En este boletín se muestran los datos de la estación GPS del Teide (TEIT) (Fig. 3.2). Ninguna de las estaciones ha registrado desplazamientos significativos, dígase más altos que la incertidumbre experimental.

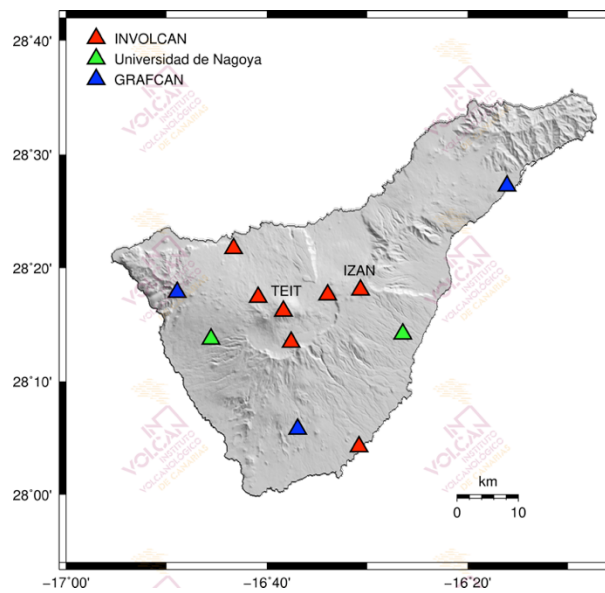


Figura 3.1 – Red GPS Canaria en la Isla de Tenerife compuesta por 12 estaciones GPS diferenciales permanentes (Universidad de Nagoya, GRAFCAN, ITER/INVOLCAN).

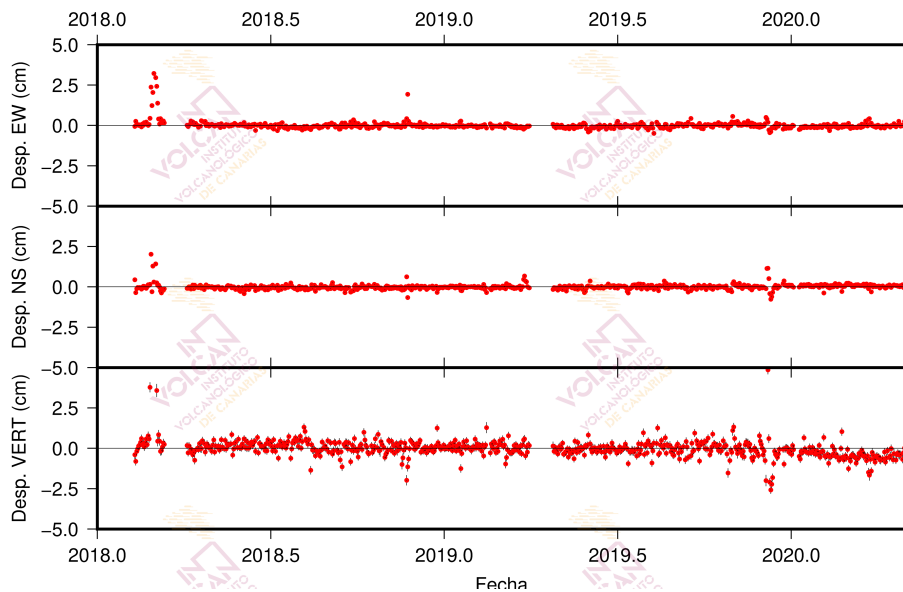


Figura 3.2 – Series temporales de los desplazamientos verticales y horizontales registrados por la estación GPS TEIT (Teide) desde el 2018. El valor medio y la incertidumbre para cada día se indican en rojo y negro, respectivamente.

4 - Geoquímica

La monitorización geoquímica para la vigilancia volcánica de Tenerife se realiza a través de (i) la Red Geoquímica Canaria que en la Isla de Tenerife cuenta con 7 estaciones instrumentales permanentes, (ii) la estación instrumental permanente del Consejo Insular de Aguas de Tenerife existente en el sondeo de Montaña Majúa.

En este boletín se muestran datos relacionados con (a) el flujo difuso de dióxido de carbono (CO_2) de la estación geoquímica TFG12 (Mirador de la Fortaleza del Teide) (Fig. 4.2), (b) la emisión difusa de dióxido de carbono (CO_2) en el cráter del Teide (Fig. 4.3), (c) el flujo difuso de dióxido de carbono (CO_2) registrado en las estaciones de la Red de Trampas Alcalinas de los sistemas volcánicos Dorsal Noroeste de Tenerife (Fig. 4.4), Dorsal Noreste de Tenerife (Fig. 4.5), Dorsal Norte-Sur de Tenerife (Fig. 4.6) y caldera de Las Cañadas (Fig. 4.7), (d) algunas relaciones geoquímicas de la fumarola del Teide (Fig. 4.8) y (e) algunos parámetros físico-químicos de las aguas subterráneas que se monitorizan en la estación geoquímica TFG03 (Fig.4.9).

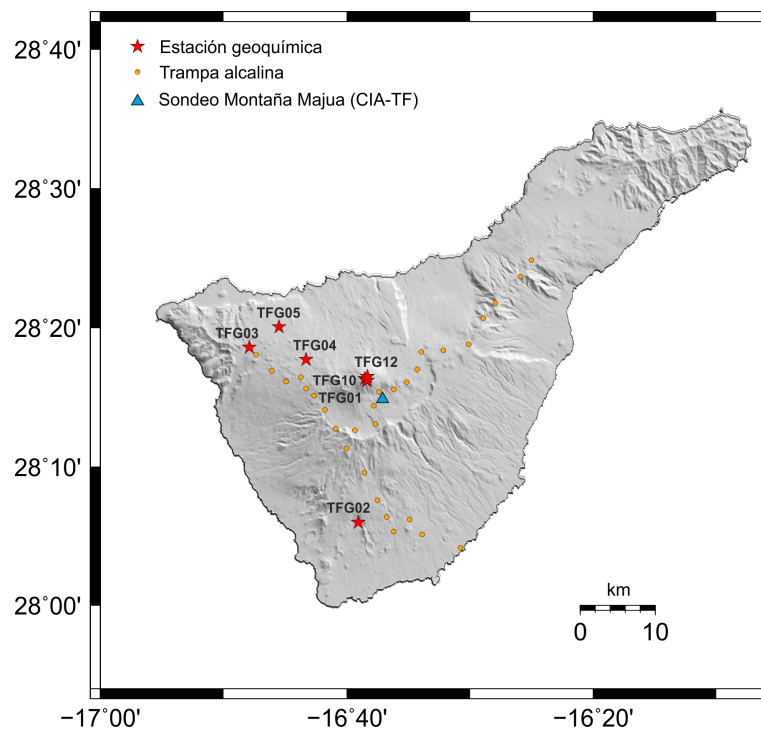


Figura 4.1 – Mapa de localización de las estaciones de la Red Geoquímica Canaria y de la Red de Trampas Alcalinas en la Isla de Tenerife, así como de la estación instrumental permanente del sondeo del Consejo Insular de Aguas de Tenerife en Montaña Majúa.

Desde noviembre de 2016 se evidencian registros relativamente altos en la tasa de emisión difusa de dióxido de carbono (CO_2) en el cráter del Teide (Fig. 4.3). Durante el mes de junio, no se han podido recoger datos de las campañas periódicas de observación y medición directa sobre el terreno debido a la situación de alarma sanitaria originada por el COVID-19, por lo que no se han realizado estudios de la tasa de emisión difusa de dióxido de carbono (CO_2) en el cráter del Teide. En febrero 2017 esta tasa de emisión alcanzó las 175 toneladas diarias; el junior valor registrado durante todo el periodo de observación desde que se comenzaron a realizar las campañas científicas periódicas de observación sobre este parámetro geoquímico en el cráter del Teide en 1997.

La serie de emisión de CO_2 registrada en la estación TFG12 durante este mes presenta una gran estabilidad alrededor de $\sim 4 \text{ kg m}^{-2} \text{ d}^{-1}$. Los valores de emisión oscilaron entre valores de 2.3 y los $10.6 \text{ kg m}^{-2} \text{ d}^{-1}$, con un valor promedio de $4.7 \text{ kg m}^{-2} \text{ d}^{-1}$ (Fig. 4.2).

Debido a la declaración del estado de alarma publicada el 14 de marzo de 2020, no ha sido posible la medida de flujo difuso de dióxido de carbono (CO_2) en la Red de trampas alcalinas durante el mes de junio (Figs. 4.4, 4.5, 4.6 y 4.7), las medidas en la fumarola del Teide, y no se ha podido recolectar muestras de las aguas subterráneas. En la figura 4.8 se muestran los datos de las relaciones CO_2/CH_4 , H_2/CO_2 y He/CO_2 medidos en la fumarola del Teide, en el mes de junio no se ha podido recolectar muestras. Los parámetros físico-químicos de las aguas subterráneas medidos por la estación TFG03 (Fig. 4.9) no han podido ser registrados durante el mes de junio.

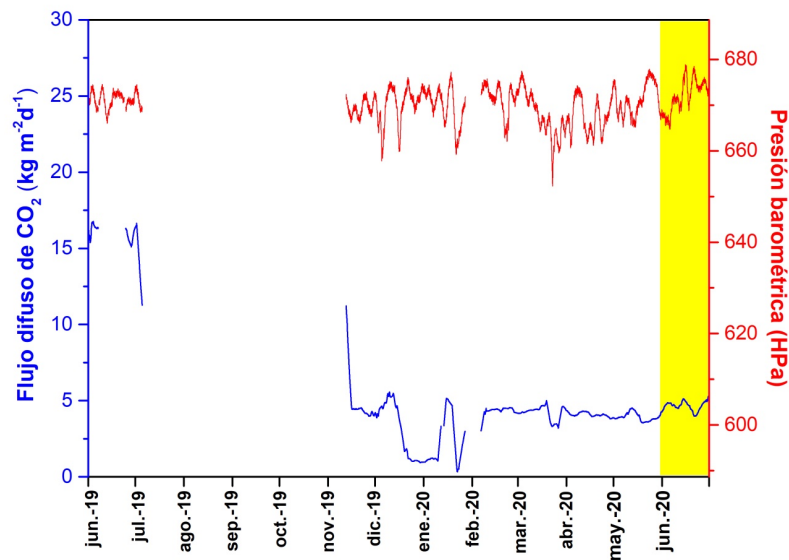


Figura 4.2 - Monitorización de la media móvil semanal del registro en modo continuo del flujo de CO_2 (azul) y la presión barométrica (rojo) de la estación geoquímica TFG12 (Mirador de la Fortaleza del Teide, Tenerife). Los datos de junio de 2020 se encuentran indicados por el área amarilla.

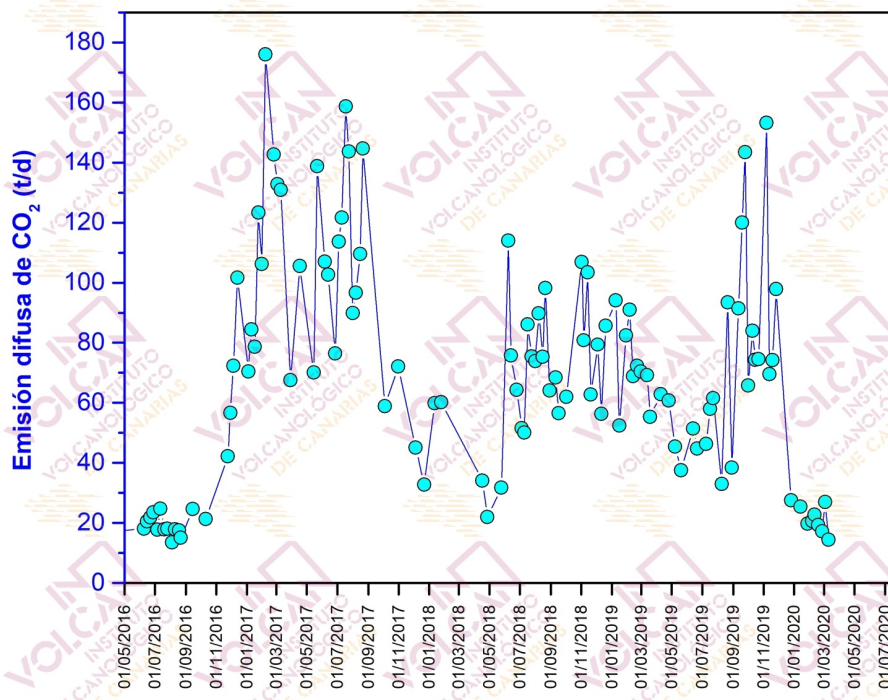


Figura 4.3 – Variaciones temporales de la emisión difusa de dióxido de carbono (CO₂) en el cráter del Teide desde el 1 de julio de 2016.

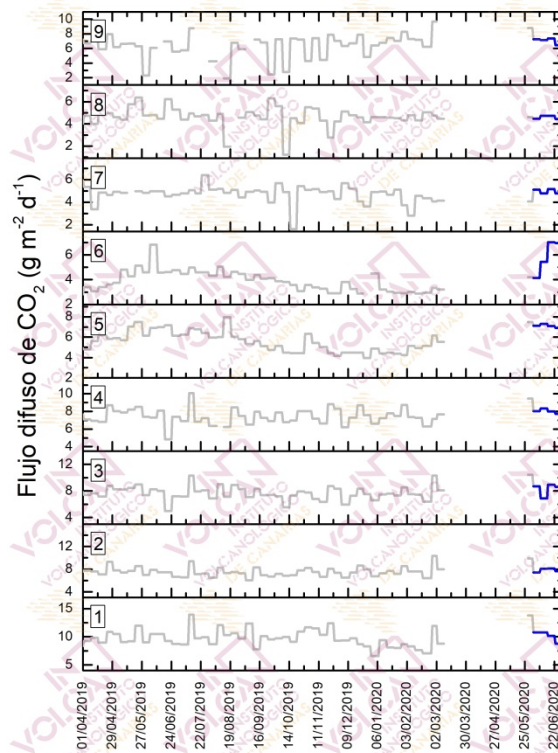


Figura 4.4 – Monitorización semanal del flujo difuso de CO₂ en la Red de Trampas Alcalinas del sistema volcánico Dorsal Noroeste de Tenerife durante los últimos 12 meses.

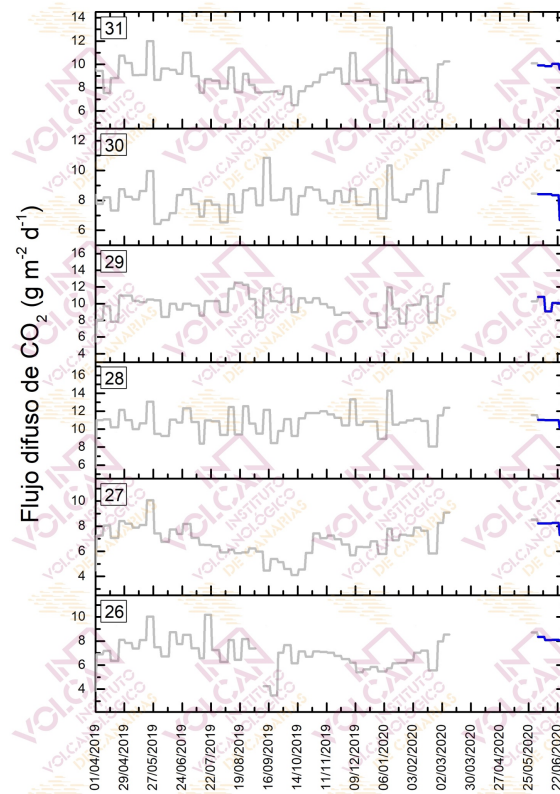


Figura 4.5 – Monitorización semanal del flujo difuso de CO₂ en la Red de Trampas Alcalinas del sistema volcánico Dorsal Noreste de Tenerife durante los últimos 12 meses.

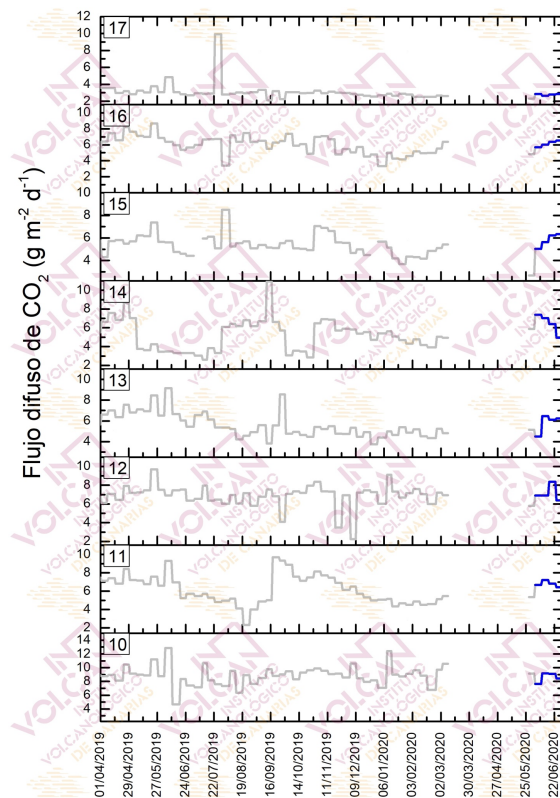


Figura 4.6 – Monitorización semanal del flujo difuso de CO₂ en la Red de Trampas Alcalinas del sistema volcánico Dorsal Norte-Sur de Tenerife durante los últimos 12 meses.

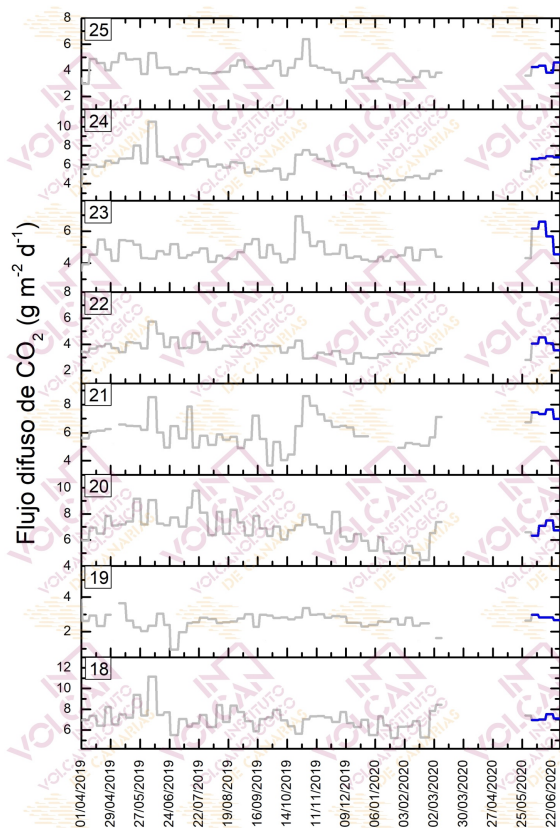


Figura 4.7 – Monitorización semanal del flujo difuso de CO_2 en la Red de Trampas Alcalinas de la Caldera de Las Cañadas durante los últimos 12 meses.

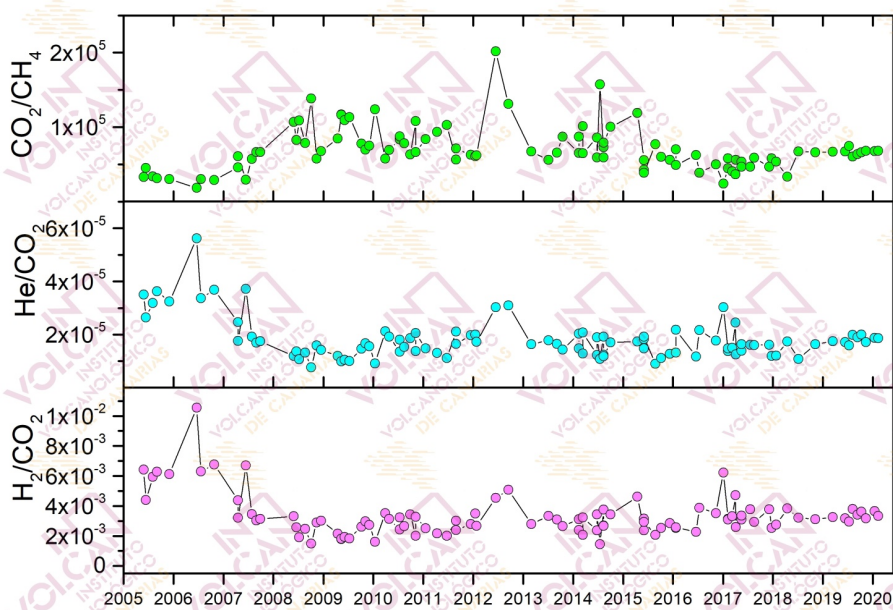


Figura 4.8 - Variaciones temporales de las relaciones molares CO_2/CH_4 , He/CO_2 y H_2/CO_2 en las fumarolas del Teide (TEF1) desde enero de 2005.

Este boletín ha sido elaborado gracias al proyecto al proyecto “MONITORIZACIÓN E INVESTIGACIÓN SOBRE LA ACTIVIDAD VOLCÁNICA DE TENERIFE” co-financiado por el Programa Tenerife Innova 2016-2021 que coordina el Área Tenerife Innova 2016-2021 que coordina el Área de Carreteras, Movilidad e Innovación del Cabildo Insular de Tenerife y por el proyecto “Fortalecimiento de las capacidades de I+D+i para el desarrollo de la resiliencia frente a emergencias volcánicas en la Macaronesia – VOLRISKMAC II” del Programa de Cooperación Territorial INTERREG V A España-Portugal MAC 2014-2020.



MAC 2014-2020
Cooperación Territorial